

Dammarane系 Triterpenoid의 質量分光分析

韓秉勳·金濟勳·池亨浚

서울大學校 生藥研究所

Mass Spectrometry of Dammarane Triterpenoids

Byung Hoon HAN, Jae Hoon KIM and Hyung Joon CHI
Natural Products Research Institute, Seoul National University

Mass spectra of the dammarane triterpenes having open side chain and C₂₀-C₂₅-epoxy side chain were measured. Principal fragment ions were assigned and plausible mechanisms for the formation of the fragment ions were proposed. In general, the triterpenoids of C₂₀-C₂₅-epoxy side chain produce h₁-species fragment ions by the deletion of side chain at C₂₀-C₂₂ bond and open side chain triterpenoids produce h₂ species fragmentations whose mass numbers are higher by two mass unit than those of h₁ species. The mass number of h species fragment ions will serve as the diagnostic tool for the elucidation of side chain structure of tetracyclic triterpenoids.

서 론

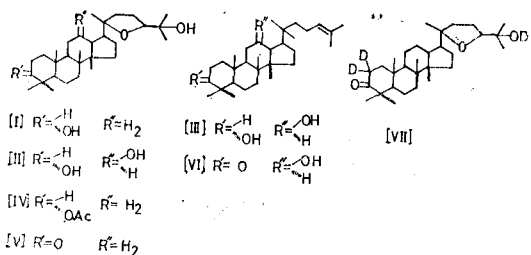
Pentacyclic triterpenoids의 mass fragmentation에 대해서는 Djerassi^{1~2)}等에依한廣範圍한 연구가 있고, 또 terpenoid의 mass全般에 걸친 review³⁾도 나와 있으나 tetracyclic triterpenoids

의 mass fragmentation의例는 그다지 많지 못하다. 특히 tetracyclic triterpenoid에對해서는 그fragment ion만을解析함으로써 그化學構造의全貌를推定하기에는構造特異性이 있는fragment ion에對한情報가現在로서는너무박약하다.著者는 자작나무(*Betula latifolia* KOMAROV, Betulaceae)에서 dammarane系에 속하는tetra-

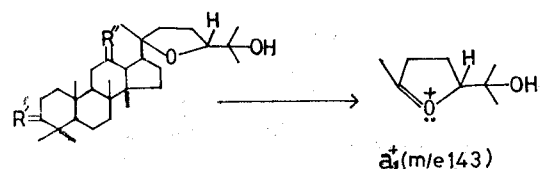
Table I. Structure Specific Fragment Ions of Dammarane Triterpenoids.

Compounds	Fragment ions (m/e): abundance %					
	M ⁺	a ⁺	d ⁺	e ⁺	f ⁺	h ⁺
[I]	460:0.1	143:100		189:23 207:18	203:10 221:2.5	341:2
[II]	476:<0.1	143:100		189:53 207:81	203:15 221:5	339:11.5
[III]	460:<0.1		135:100	189:100 207:100	203:100 221:41	341:100
[IV]	502:<0.1	143:100		189:100 249:17	203:90 263:2	341:14 401:2
[V]	458:<0.1	143:100		205:100	219:2.8	357:13
[VI]	458:<0.1		135:100	205:100	219:40	357:100
[VII]	461:<0.1	144:100		207:16	221:3	359:1

cyclic triterpenoids [I], [II], [III]을 分離하여⁴⁾ 그 化學構造를 밝혀 報告한 바 있다(Fig.1). 本報에서는 그 化學構造가 定해진 [I], [II], [III]과 그 數種 유도체 [IV], [V], [VI], [VII]을 사용하여 그 mass spectra를 比較 解析함으로써 Table I에 表示된 바와 같은 fragment ion들을 확인하였으며 이들 fragment ion의 大部分은 tetracyclic triterpenoid의 構造를 推定하는데 있어서 診斷的道具로 活用할만한 充分한 價値가 認定되었고 이들 fragment ion들에 依하여 triterpenoid의 構造를 推定하는 論理에 있어서 數種新知見이 얻어진 바 있음으로 報告코자 한다.



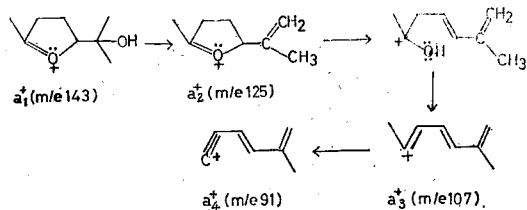
側鎖의 構造 [I], [II]와 그 유도체 [IV], [V]는 $a_1^+ m/e 143$ 이 base peak로 나타났다.



a_1^+ 의 起源은 $p+1(8.9\%)$ peak와 또 이보다 低質量部分에 나타난 $a_2^+ m/e 125(12\%)$, $a_3^+ m/e 107(6.5\%)$, $a_4^+ m/e 91(2\%)$ 의 出現에 依하여 a_1^+ 는 $C_8H_{15}O_2^+$ 임을 알 수 있다. a_2^+ , a_3^+ , a_4^+ 가 a_1^+ 에서 由來되었음을 각각 그 metastable ion ($m/e 109.2$, 91.5 , 77.4)들이 뒷받침하고 있다. 따라서, [I]에 있는 3個 酸素原子中 2個의 酸素은 a_1^+ ion中에 含有되어 있으면서도 [I]의 각종 유도체 [IV], [V]에서도 a_1^+ ion이 變化되지 않고 出現하고 있음은 a_1^+ ion中에 acetylation 또는 酸化 받을 수 있는 水酸基가 없음을 뜻한다. $a_1^+(C_8H_{15}O_2^+)$ 의 不飽和度는 1이고 [I]에 不饱和結合이 없다는 事實을 綜合하면 a_1^+ 에는 1個

의 cyclic ether 結合과 1個의 三級水酸基가 있음을 뜻한다.

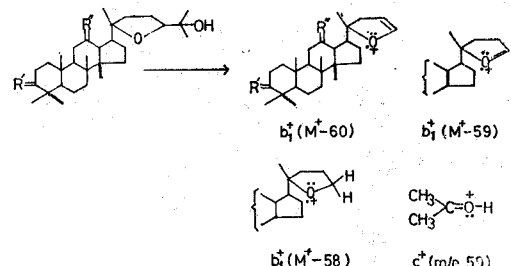
分解 경로를 要約하면 아래와 같다.



[I], [II], [IV], [V]은 모두 $b_1^+(M^+-60, -59, -58)$ 및 $b_2^+(M^+-60-H_2O, -59-H_2O-HAC, -58-H_2O)$ 가 比較的 強한 signal로 나타나고 $-HAC$

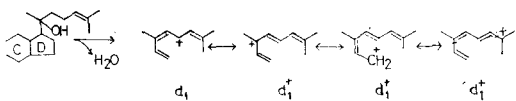
있고, 또 $c^+ m/e 59$ 가 出現하고 있다. [V]의 重水素 置換體인 [VII]에서 a_1^+ 과 c^+ 는 각각 $m/e 144$, 및 $m/e 60$ 으로 遷移되어 나온다. 따라서, c^+ 는 a_1^+ 의 一部分이고 또는 c^+ 는 $C_3H_7O^+$ 以外의 組成은 生覺할 수 없으며 또 그 酸素原子는 三級水酸基 以外는 생각할 수 없다. 따라서 c^+ 는 部分構造 iso-propanol 部分에서 由來된 $CH_3 > C$
 $CH_3 = OH$ 임을 뜻한다.

결과적으로 a_1^+ 은 C_3H_7O 部分과 C_5H_8O 部分으로 構成되어 있으며 C_5H_8O 部分中에 cyclic ether結合이 存在한다. C_5H_8O 는 pyran環 또는 furan環이 形成될 수 있으나 a_3^+ 에서 a_4^+ 가 生成되는 과정에서 CH_4 가 離脱됨은 furan環을 뒷받침하고 있다. a_1^+ 가 生成되는 경로를 표시하면 다음과 같다.

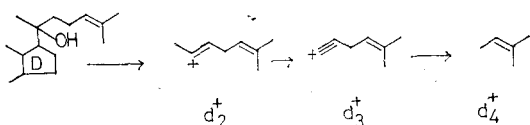


한편, [III] 및 그 유도체 [VII]은 a_1^+ 대신에 $d_1^+ m/e 135$ 가 base peak로 나타나고 또한 b_1^+ , b_2^+ 및 c^+ 도 出現되지 않고 있다. d^+ ion도 亦是 [III], [VII]의 side chain에서 由來된 것이라고 생각된다. 즉, C-20 水酸基의 thermal decomposition과 D-環의 Retro-Diels Alder cleavage가 同

時에 일어나서生成된 d^+ ion의 각종 ion형이共鳴에依하여安定化되기 때문에 그 peak intensity가强化된 것으로 解析된다.

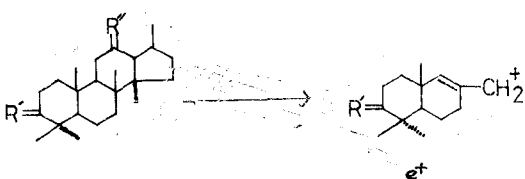


그外에 [III], [IV]은 side chain에서由來된 것이라 생각되어지는 d_2^+ m/e 109(96%), d_3^+ m/e 93(55%), d_4^+ m/e 69, 100% 등이 우세한 peak로 나타나고 있으나 이들이 같은 계열의 fragment ion이라는 확증을 잡지는 못하고 있다.



[I], [II], [IV], [V]는 a^+ 계열과 b^+ 계열이主된 peak이고 [III], [VI]에서는 d^+ 계열의 ion이主된 peak임으로 간별에 응용될 수 있다.

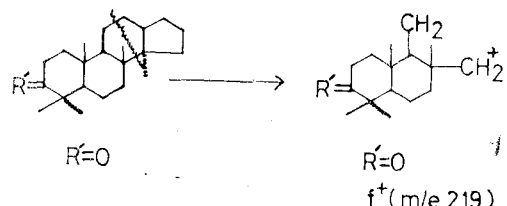
A, B環의構造 Pentacyclic triterpenoid에對한研究에서 C. Djerassi¹⁾는 triterpenoid에對한 각종 유도체에서 e^+ 의 mass가變動되는狀況을調査하면 A, B環에 대한酸素置換의状况을파악할 수 있는 것으로報告하고 있다.



本研究에서論하고 있는 tetracyclic triterpenoid에對한 e^+ 도 같은性格의 mass變動을 보이고 있으며各化合物에서 관측된 e^+ 는 다음과 같다 [I] e^+ (m/e 207, 189), [II] e^+ (m/e 207, 189), [III] e^+ (m/e 207, 189), [VI] e^+ (m/e 249, 189), [V] e^+ (m/e 205), [VI] e^+ (m/e 205). e^+ 계열의 ion이 A, B環과 관련되어 있음을 다음과 같이 증명되었다. Ketone體인 [V], [VI]의 Zimmermann反應陽性이므로 이 ketone基는 A環 3番炭素에位置하고 또 [V]의重水素置換體인 [VII]에서 e^+ 는 m/e 205가消失되고 m/e 207까

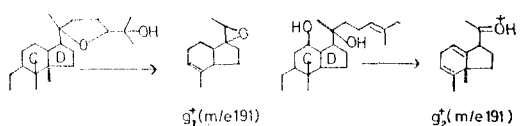
지遷移된 것으로 확실하다.

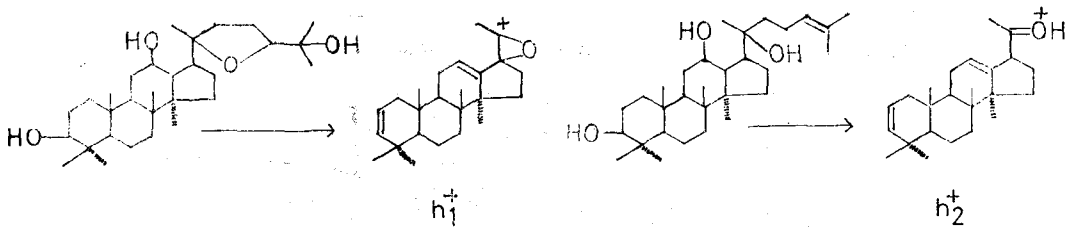
C環의構造 [VII]의 mass와 [VII]의 mass를比較할 때 [VII]의 f^+m/e 219는 [VII]에서 f^+m/e 221로 천이되고 있어서 f^+ 는 AB環을含有하면서도 e^+ 보다 $-CH_2-$ 單位가增加된 것임을뜻하고 있고 그起源은 다음과 같이推定할 수 있다. 따라서 C環의 11番炭素에對한酸素置換의状况을 f^+ 와 e^+ 間의 mass差異에 의해서 파악할 수 있다.



C, D環의構造 C. Djerassi¹⁾는 A, B環의酸素置換의状况에따라서 e^+ 의 mass number가變動된다고하여 간별에 사용할 수 있음을지적하고 있다. 즉, A, B環에酸素置換基가없으면 e^+ 는 m/e 191에 나타나서 acetylation 또는酸化를 하여도變動되지 않고, A, B環에酸素置換基가있으면 e^+ 는 m/e 191에 나타나지못하고 acetylation 또는酸化에의하여 e^+ 의 mass number가변동된다고하였다. 그러나,本報에서論하고 있는物質들은 이들 두가지性格을 같은物質이共有하고 있어서 흥미있다. [I], [IV]의 경우 g^+ m/e 191 peak는 e^+ m/e 189에比하여 3倍나強力하여 A, B環에酸素置換基가없는 것으로처리되기 쉽게되어 있다.

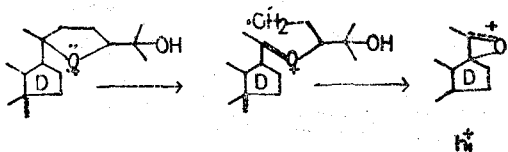
따라서 g^+ 가 tetracyclic triterpenoid의構造決定에診斷的價值가認定되지는않지만 그起源을확실히밝혀둘필요가있다. g^+ 는 A, B環以外의部分에서由來된것이며後述하는 h^+ 에서生成되었음이그metastable ion에依하여확인되었다($m'=107.5$)。





Tetracyclic Skeleton에 있는 酸素置換基의 數 Tetracyclic skeleton에 있는 酸素의 總數를 알아내는 것은 그 構造推定에 큰 意義가 있다. mass number 300~400領域은 tetracyclic triterpenoid의 mass spectra에서 比較的 peak가 없이 單調로운 部分이어서 이 領域에 出現되는 h^+ peak는 비록 그 強度가 弱하더라도 쉽게 찾을 수 있어서 診斷的 效用性이 大端히 크다고 생각된다. h^+ 의 生成起源은 다음과 같이 推定된다.

各化合物에서 관측된 h^+ 는 다음과 같다. [I] h_1^+ m/e 341, [II] h_1^+ m/e 339, [IV] h_1^+ m/e 341, [V] h_1^+ m/e 357, [VI] h_1^+ m/e 359 즉 A, B, C, D環中에 水酸基等 酸素置換基가 하나도 없으면 h_1^+ 는 m/e 343에 나타나야 하고 水酸基가 하나導入될 때마다 h_1^+ 의 m/e는 2質量單位씩 減少되고 ketone이 있으면 오히려 14質量單位가 증가함으로 h_1^+ 의 m/e 값에 依하여 A, B, C, D環中에 分布된 水酸基 또는 ketone의 數를 評價할 수 있다. h_1^+ 의 ion構造는 다음과 같은 論理에 依하여 밝혀졌다. 즉 각化合物에서 관측된 h_1^+ 의 m/e값이 변동되고 있는 모습은 h_1^+ 中에 A環이 包含되어 있음을 實證한다. 따라서 A環부터 始作하여 h_1^+ 의 m/e에 到達되기 위해서는 D環의 끝에 epoxide ion을 假定하지 않고서는 成立되지 않는다. 따라서 h_1^+ 에 對한 ion構造는 一義的으로 定해지며 그 生成經路는 다음과 같이 推定된다.



[III], [VII]의 경우에도 h_1^+ 에 對應되는 h_2^+ 가 각각 다음과 같이 관측된다.

[III] h_2^+ m/e 341, [VI] h_2^+ m/e 357 h_2^+ 의 경우에는 A, B, C環中의 水酸基 또는 ketone의 數와 h_2^+ 의 m/e값 間에는 相互 關聯이 있는데 이 경우 A, B, C, D環에 酸素置換基가 없을 때의 h^+ 의 m/e 값은 基本值 345로 해야 한다. 즉 側鎖가 epoxide 構造를 가졌을 때는 h_1^+ 가 生成되어 基本值 343이 되고 側鎖가 非環式 構造로 되어 있을 때는 h_2^+ 가 生成되어 그 基本值은 345가 된다.

實驗

本實驗에 사용된 모든 檢體는 著者들의 研究室에서 分離한 것들이며 그 化學構造等에 關한 問題는 前報^{3,4)}를 參照하기 바란다. Mass spectrum은 Hitachi Model로 測定하였고 測定條件은 大部分의 경우 다음과 같다. Direct Inlet system, sensitivity 10~100, sample heater 200~280°C, ionization voltage 70eV.

d_3 -betulafolianediolone [VII]; 5ml ampule에 betulafolianediolone [VI] 50mg와 CD_3OD 3ml를 加한 다음 Na 70mg을 용해시킨 D_2O 용액 1.5ml을 加하여 混合한 다음에 熔封하고 水浴中에서 48時間 煮沸시킨 다음 開封하여 減壓濃縮하여 얻어진 잔사를 다시 同一한 方法으로 deuteration을 반복한 다음에 얻어진 잔사를 1회 D_2O 1.5ml로 세척한 다음에 CD_3OD 3ml로 再結晶하여 얻어진 針狀結晶을 사용하여 mass spectrum으로 分析한結果, d_1 -치환체 17.3%, d_2 -치환체 40.1%, d_3 -치환체 42.6%의 물질이 얻어졌다.

結論

1. 構造가 확정된 바 있는 dammarane系 tetra-

cyclic triterpenoids [I], [II], [III]과 그 유도체 [IV], [V], [VI], [VII]의 mass spectra들을比較解析한結果, 構造特異性이 있는 fragment ion $a^+ \sim h^+$ 를 確認하였고 이들 ion의 ion構造 및 그生成經路를 推定하였다. 이推定은 關聯된 從屬의인 ion, metastable ion 및 deuteration mass에依하여 뒷받침되었다.

2. 이들 fragment ion들중 side chain의 脫落에依하여 生成되는 h系列의 fragment ion이 나타내는 mass number는 open side chain의 경우에는 epoxy side chain의 경우보다 2質量單位가 높게 나온다. 이를 逆利用하여 tetracyclic triterpenoid의 mass spectra에依하여 side chain의構造를 测定할 수 있다.

謝辭 Mass spectra를 测定해 주신 日本 京都大學藥學部 마스스펙트럼研究室의 加藤 旭博士에게 깊이 感謝한다.

문 헌

1. Karliner, J. and Djerassi, C.: *J. Am. Chem. Soc.*, 88, 1945 (1977).
2. Budzikiewicz, H., Wilson, J.M. and Djerassi, C.: *J. Am. Chem. Soc.*, 85, 3688 (1963).
3. Waller, G.R.: *Biochemical Appl. of Mass spectr.*, Wiley interscience, 1972, p. 351.
4. Chi, H.J. and Han, B.H.: *J. Pharm. Soc. Korea*, 19, 159 (1975).